

光滑球拟酵母转录因子 Asg1p 调控鲁棒性的生理机制

吴静^{1,2,3}, 唐蕾^{*1,2}, 刘立明^{1,2,3}

(1. 江南大学 生物工程学院, 江苏 无锡 214122; 2. 江南大学 工业生物技术教育部重点实验室, 江苏 无锡 214122; 3. 食品科学与技术国家重点实验室, 江南大学, 江苏 无锡 214122)

摘要 为了阐明缺失转录因子 CgAsg1p 对光滑球拟酵母鲁棒性的影响, 通过同源重组的方法构建突变菌株 *Cgasg1Δ*, 比较基因缺失突变株在不同条件下的细胞生长、基因转录水平和对不同胁迫的抵御能力。结果表明: 与野生型菌株 *wt* 相比, 突变菌株 *Cgasg1Δ* 失去在 pH 2.0 下的生长能力, 转录因子 CgAsg1p 在低 pH 条件下通过改变一系列应答基因的转录水平, 影响压力调控、氧化还原过程、跨膜转运、DNA 复制、重组和修复等生物过程, 此外, 突变菌株 *Cgasg1Δ* 也失去了对氧化胁迫和高渗胁迫的抵御能力。因此, CgAsg1p 是光滑球拟酵母抵御多种胁迫的关键转录因子。

关键词 光滑球拟酵母; 转录因子; 鲁棒性; Asg1p

中图分类号"Q 935 文献标志码"A 文章编号"1673# 1689\$2017%02&0156&08

Physiological Mechanism of Transcription Factor Asg1p for the Regulation of Robustness of *Candida glabrata*

WU Jing^{1,2,3}, TANG Lei^{*1,2}, LIU Liming^{1,2,3}

(1. School of Biotechnology, Jiangnan University, Wuxi 214122, China; 2. Key Laboratory of Industrial Biotechnology, Ministry of Education, Jiangnan University, Wuxi 214122, China; 3. State Key Laboratory of Food Science and Technology, Jiangnan University, Wuxi 214122, China)

Abstract: To analyze the effect of transcription factor CgAsg1p on the robustness of *Candida glabrata*, the mutant strain *Cgasg1Δ* was constructed and the cell growth, gene transcriptional level and the ability of resisting various stresses were investigated. Compared to the wild-type strain *C. glabrata* ATCC 2001, the mutant strain *Cgasg1Δ* lost the ability of surviving in the medium at pH 2.0. CgAsg1p changed the transcription level of several response genes, influencing stress regulation, redox process, transmembrane events, DNA replication, recombination and repair, etc. Besides, the mutant strain *Cgasg1Δ* lost the ability of resisting oxidative stress and hyperosmotic stress. These results indicated that CgAsg1p is an essential transcription factor in *C. glabrata* for various stress responses.

Keywords: *Candida glabrata*, transcription factor, robustness, Asg1p

收稿日期" 2015-04-17

基金项目" 国家自然科学基金项目(31270079); 江南大学自主科研计划重点项目(JUSRP51303A)。

* 通信作者" 唐蕾(1966—), 女, 江苏无锡人, 工学博士, 教授, 主要从事代谢调控与酶技术方面的研究。E-mail: ltang@jiangnan.edu.cn

引用本文" 吴静, 唐蕾, 刘立明. 光滑球拟酵母转录因子 Asg1p 调控鲁棒性的生理机制[J]. 食品与生物技术学报, 2017, 36(02): 156-163.

生物系统在受到外部环境扰动或内部参数变化等不确定因素干扰时,能够保持其结构和功能稳定的一种特性,称为生物鲁棒性^[1-2]。光滑球拟酵母(*Candida glabrata*)作为发酵生产丙酮酸^[3]、富马酸^[4]、苹果酸^[5]、 α -酮戊二酸^[6]等有机酸的重要工业微生物,其重要生理特性如目标代谢途径中的代谢通量稳定性、对底物和产物的耐受性,以及应对环境胁迫均涉及生物鲁棒性。有机酸发酵过程中,随着产物有机酸的积聚,培养液的 pH 迅速降低,导致菌体生长和产物积累减缓甚至停止^[7]。此时一般通过流加碱性物质如 NaOH 等来调控 pH,但随着碱性物质的添加,培养液中的渗透压不断增加,也会导致细胞生长和产物积累减缓和停止。目前国内外主要通过外源添加辅助底物、诱变育种与基因工程和适应性进化等策略提高菌体的胁迫耐受性,从而增加目标产物有机酸的产量。如果能在阐明 *C. glabrata* 的胁迫耐受生理机制的基础上,定向改造菌株的生产性能,则可更加有效的从根本上解决这一科学难题。

目前关于 *C. glabrata* 胁迫耐受机制的研究尚少。Bairwa 等^[8]对 GPI 锚定天冬氨酰蛋白酶的研究发现光滑球拟酵母可通过 CgYps1 调节质子泵 CgPma1 的活性以适应酸胁迫环境。此外,研究者们对光滑球拟酵母转录因子进行的功能鉴定发现, Msn2p 和 Msn4p 是抵御多种环境压力必不可少的转录因子^[9], Yap1p、Skn7p 和 Slm7p 通过抵御氧化胁迫参与酸胁迫应答反应^[10-11]。鉴于转录因子在胁迫应答反应中发挥重要作用,本论文中从转录因子 Asg1p 着手进行光滑球拟酵母胁迫耐受机制的研究。

转录因子 Asg1p 由基因 *ASG1* 编码,敲除酿酒

酵母 (*Saccharomyces cerevisiae*) 的基因 *ASG1* (*ScASG1*, YIL130W) 或白色念珠菌 (*Candida albicans*) 的基因 *ASG1* (*CaASG1*, CaO19.166, CaO19.7800) 均会使细胞在非发酵性碳源中的生长能力大大降低^[12-13]。通过序列比对分析,发现 *C. glabrata* 中基因 *ASG1* (*CgASG1*, CAGL0G08844g) 的序列与 *ScASG1* 和 *CaASG1* 分别有 50% 和 39% 的相似性。那么 *CgASG1* 是否保留了其同源基因在 *S. cerevisiae* 和 *C. albicans* 中的功能或发展出其他功能呢?

鉴于转录因子 Asg1p 在 *C. glabrata* 环境耐受性中的作用尚未有研究报道,为此,本文通过构建光滑球拟酵母突变菌株 *Cgasg1Δ*,比较基因 *CgASG1* 缺失前后菌株在酸胁迫条件下的生长、转录水平的变化及其在氧化胁迫和高渗胁迫下的生长,以期理解转录因子 CgAsg1p 在调控 *C. glabrata* 鲁棒性中的作用。

1 材料与方法

1.1 材料

1.1.1 菌株和质粒 本课题研究所涉及的菌株和质粒见表 1,所使用的引物见表 2。

1.1.2 主要试剂和仪器 TaKaRa Taq、Ex Taq、Pyrobest DNA 聚合酶、限制性内切酶、T4 DNA 连接酶、DNA Marker 等,购自 TaKaRa 公司;普通 DNA 产物纯化回收试剂盒、酵母基因组提取试剂盒,购自天根生化科技(北京)有限公司;质粒提取试剂盒、胶回收试剂盒,购自生工生物工程(上海)股份有限公司;其它常规试剂采用进口分装或国产分析纯。C1000 型 PCR 仪,美国 Bio-Rad 公司产品;Gel

表 1 作者课题研究所使用的菌株和质粒

Table 1 Strains and plasmids used in this study

菌株或质粒	特征	参考文献
Strains		
<i>C. glabrata</i> ATCC 2001	Wild-type strain	[9]
<i>C. glabrata</i> ATCC 55	<i>his3Δtrp1Δura3Δ</i> mutant strain	[9]
<i>Cgasg1Δ</i>	<i>C. glabrata</i> ATCC 55(<i>asg1Δ::CgURA3</i>)	作者研究课题
<i>Cgasg1Δ/CgASG1</i>	<i>Cgasg1Δ</i> (pY13- <i>CgASG1</i>)	作者研究课题
Plasmids		
pY13	CEN6/ARSH4, <i>Amp</i> , <i>HIS3</i> , P _{TEF}	Turbo
pY13- <i>CgASG1</i>	CEN6/ARSH4, <i>Amp</i> , <i>HIS3</i> , P _{TEF} - <i>CgASG1</i>	作者研究课题

表 2 本课题研究所使用的引物

Table 2 Primers used in this study

引物名称	引物序列 (5'→3')	目的
P1	ACATTATTGGTAACTGTTTTTCG	<i>CgASG1</i> 敲除
P2	AATATGAGGCACTGGACATCGTTTTATTACAGACAGTCTGACAGT	<i>CgASG1</i> 敲除
P3	AGACTGTCTGTAATAAAAACGATGTCCAGTGCCTCATAT	<i>CgASG1</i> 敲除
P4	CCATGTATTCCCTCACCAGGTCAGTTTCCTATTCTTTT	<i>CgASG1</i> 敲除
P5	TGAAAAGAATAGGAAACTGACCTGGTGAAGGAATACATG	<i>CgASG1</i> 敲除
P6	AGAGTATGCTTTAGGTAGGATG	<i>CgASG1</i> 敲除
P7	GTGGAGGTGGAAGTATCT	验证
P8	TCAGTTTCCTATTCTTTT	验证
P9	ACCATCGTTATCAAGACT	验证
P10	CGGGATCC ATGAACTTGACTGTGCCAC	<i>CgASG1</i> PCR
P11	CGGAATTC TTAGCGCTTATTAGTAGGTAAT	<i>CgASG1</i> PCR

注：“单下划线”表示同源序列；“双下划线”表示 *Bam*H I 或 *Eco*R I 限制性内切酶位点。

Doc EZ 型凝胶成像仪, 美国 Bio-Rad 公司产品; DYY-6D 型电泳仪, 北京六一仪器厂制造; IQ5 型荧光定量 PCR 仪, 美国 Bio-Rad 公司产品; UV2450 型紫外可见分光光度计, 日本 Shimadzu 公司产品; RF-5310PC 型荧光分光光度计, 日本 Shimadzu 公司产品。

1.1.3 培养基 1) YPD 培养基 (g/L): 葡萄糖 20, 蛋白胨 20, 酵母粉 10; 2) MM 培养基 (g/L): 葡萄糖 20, 尿素 7, 乙酸钠 3, 磷酸二氢钠 5, 七水硫酸镁 0.8; 3) YNB 培养基 (g/L): 葡萄糖 20, 无氨基酵母氮源 6.7; pH 5.2。根据不同实验需要更换碳源、加盐、 H_2O_2 或调整 pH; 4) LB 培养基 (g/L): 蛋白胨 10, 酵母粉 5, 氯化钠 10。以上培养基可加琼脂粉 20 g/L 制成相应的固体培养基。

1.2 菌株构建方法

1.2.1 基因 *CgASG1* 的敲除与验证 基因 *CgASG1* 的敲除与验证按照图 1 进行。以 *C. glabrata* ATCC 2001 (wild-type strain, *wt*) 的基因组为模板, 分别以 P1 和 P2 为引物扩增 *CgASG1* 的左臂 (*L*), 以 P3 和 P4 为引物扩增标记基因 *CgURA3* (*M*), 以 P5 和 P6 为引物扩增 *CgASG1* 的右臂 (*R*)。按照图 1(a) 所示原理进行融合 PCR 构建敲除框 *CgASG1-LMR*。通过连接 pMD19-T vector、转化 *E. coli* JM109 感受态细胞, 以及测序验证此敲除框序列的正确性, 将大量扩增的高浓度敲除框电击转化到受体菌株 *C. glabrata* ATCC 55 的感受态细胞中, 在基因组上 *CgASG1* 序列两端发生同源重组, 尿嘧啶缺陷型菌

株恢复合成尿嘧啶的能力, 经不含尿嘧啶、含有组氨酸和色氨酸的 MM 平板筛选, 提取转化子的基因组, 按照图 1(b) 所示原理以 P7/P8 和 P7/P9 为引物进行转化子的验证。

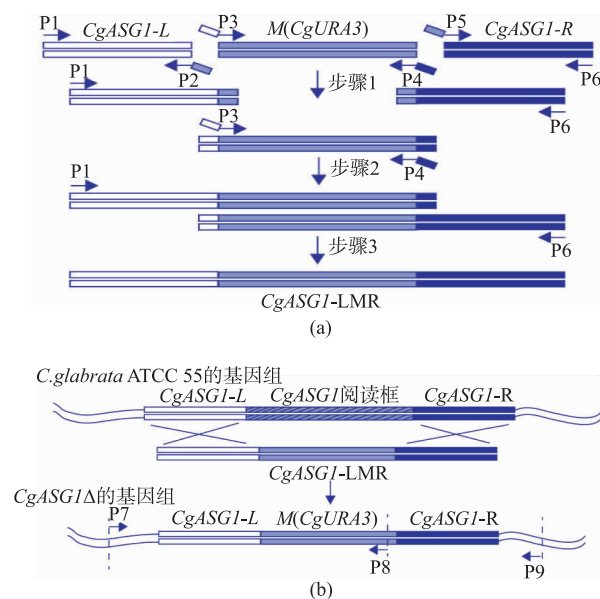


图 1 突变菌株构建及验证示意图

Fig. 1 Construction and verification of the mutant strain

1.2.2 基因 *CgASG1* 的回补与验证 以野生型菌株 *wt* 的基因组为模板, 以 P10 和 P11 为引物扩增基因 *CgASG1*。将该基因序列与表达载体 pY13 经限制性内切酶 *Bam*H I 和 *Eco*R I 消化得到相同的粘性末端, 连接酶切产物并转化 *E. coli* JM109 感受态细胞, 得到如图 2 所示重组质粒 pY13-*CgASG1*, 通过

PCR 和双酶切验证其正确性。将构建好的表达质粒电击转化 *CgASG1* 缺失菌株的感受态细胞,获得质粒的细胞可自主合成组氨酸,涂布不含尿嘧啶和组氨酸、含有色氨酸的 MM 培养基进行筛选,通过质粒酶切及表型观察进行验证。

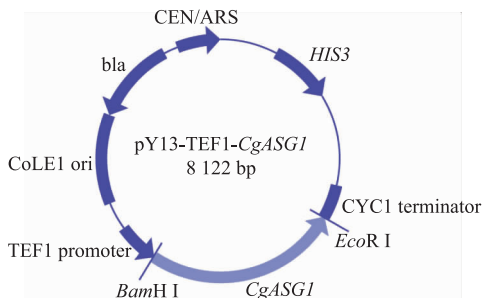


图2 重组质粒 pY13-*CgASG1* 的结构

Fig. 2 Structure of expression plasmid pY13-*CgASG1*

1.3 生长测定方法

1.3.1 平板生长实验 将待测 *C. glabrata* 单菌落接种于 20 mL 的 YNB 液体培养基中,30 °C 摇床培养 12 h 至对数生长期,测定菌体浓度并将菌悬液调节至 OD₆₀₀=1.0。以此为初始浓度,进行 5 次 10 倍梯度稀释,依次将 4 μL 菌液点种在待测固体培养基上,30 °C 培养 2 d,观察菌体的生长情况并记录。

1.3.2 生长曲线的测定 将待测 *C. glabrata* 单菌落接种于 20 mL YNB 液体培养基中,30 °C 摇床培养 12 h 至对数生长期,将菌液转接至装有 50 mL 不同条件的 YNB 液体培养基中,初始 OD₆₀₀=0.1,每隔一定的时间取样一次,测菌液在 600 nm 下的吸光值。以此吸光值为纵坐标,菌体生长时间为横坐标,比较不同 *C. glabrata* 菌株在不同胁迫条件下的生长情况。

1.3.3 细胞活性的测定 取不同时段(间隔 2 h)的菌液 200 μL,稀释至适当倍数(每块平板上的单菌落数控制在 30~300 个)后涂布 YPD 固体培养基,24 h 后进行单菌落计数,按照式(1)计算得出菌落数,

$$C=C_0 \times 5 \times d \quad (1)$$

上式(1)中:*C* 为菌落数,个/mL;*C*₀ 为平板上单菌落数;*d* 为稀释倍数。

1.4 转录组测序

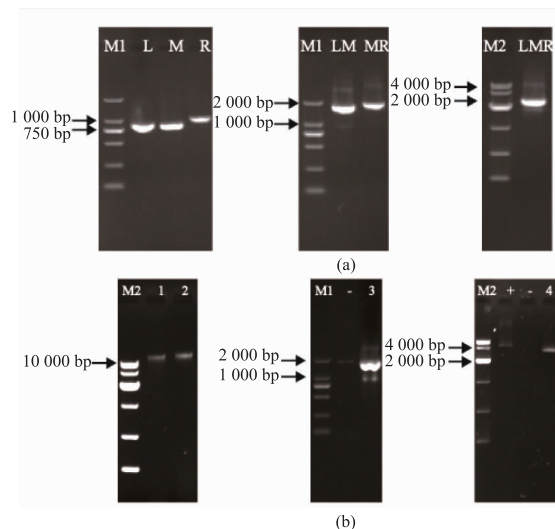
将菌株 *wt* 和 *Cgasg1Δ* 在 YNB 培养基中培养 12 h 至对数期,分别转接至 YNB 和 YNB-pH 2.0 液体培养基中培养 2 h,迅速离心菌体并用 PBS 缓冲液洗涤,于-70 °C 保存。将以上样品送至北京百迈客

生物科技有限公司进行 RNA 测序(RNAseq)。

2 结果与讨论

2.1 突变菌株 *Cgasg1Δ* 的构建及验证

以 *C. glabrata* 基因组为模板,经两次融合 PCR 将基因 *CgASG1-L*、*CgURA3* 和 *CgASG1-R* 连接起来,构建敲除框 *CgASG1-LMR*(见图 3(a))。对转化子进行 PCR 验证,发现以 P7/P8 为引物时,野生菌株 *wt* 无条带产生,转化子获得 1.8 kb 左右的片段(基因 *CgURA3* 及基因 *CgASG1* 的左臂);以 P7/P9 为引物时,野生菌株 *wt* 获得 4.5 kb 左右的片段(基因 *CgASG1* 及其左右臂),转化子获得 2.8 kb 左右的片段(基因 *CgURA3* 及基因 *CgASG1* 的左右臂)(图 3(b))。上述结果表明基因 *CgASG1* 成功被基因 *CgURA3* 替换,突变菌株构建成功,命名为 *Cgasg1Δ*。



M1-2 泳道分别代表 2 000 bp 和 10 000 bp 的 DNA marker; +/- 泳道代表分别以菌株 *wt* 基因组和水为模板进行 PCR 的对照;1-2 泳道分别代表菌株 *wt* 和突变菌株 *Cgasg1Δ* 的阳性转化子基因组;3-4 泳道分别代表使用引物 P7/P8 和 P7/P9 进行的 PCR 验证。

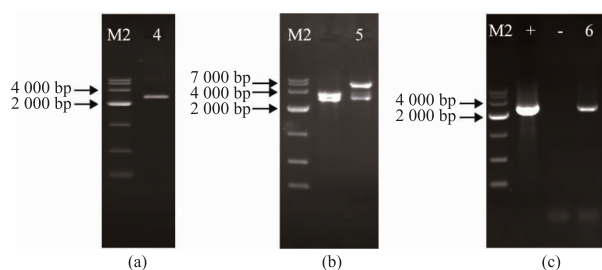
图3 突变菌株 *Cgasg1Δ* 的构建和验证

Fig. 3 Construction and verification of the mutant strain *Cgasg1Δ*

2.2 回补菌株 *Cgasg1Δ/CgASG1* 的构建及验证

将扩增得到的基因 *CgASG1*(见图 4(a))通过质粒 pY13 在突变菌株 *Cgasg1Δ* 中表达。经质粒双酶切验证,发现在 5.5 kb(pY13)和 2.5 kb(*CgASG1*)处出现条带(见图 4(b)),表达质粒 pY13-*CgASG1*(见

图2)构建成功。对酵母转化子进行菌落PCR验证,获得2.5 kb的基因 *CgASG1* (见图4(c)),回补菌株构建成功,命名为 *Cgasg1Δ/CgASG1*。



M2 泳道代表 10 000 bp 的 DNA marker; +/- 泳道代表分别以基因 *CgASG1* 和水为模板进行 PCR 的对照;4 泳道代表 *CgASG1* 基因片段;5 泳道代表 *Bam*H I 和 *Eco*R I 酶解 pY13-*CgASG1*;6 泳道代表 *Cgasg1Δ/CgASG1* 阳性转化子的菌落 PCR 验证

图 4 回补菌株 *Cgasg1Δ/CgASG1* 的构建和验证

Fig. 4 Construction and verification of the reconstructed strain *Cgasg1Δ/CgASG1*

2.3 缺失 *CgASG1* 基因对光滑球拟酵母酸胁迫耐受性的影响

根据文献报道,转录因子 Asg1p 在 *S. cerevisiae* 和 *C. albicans* 中的生理功能是影响非发酵性碳源中的生长能力^[12-13],那么在 *C. glabrata* 中 Asg1p 是否存在类似功能呢? 比较了菌株 *wt*、*Cgasg1Δ* 和

Cgasg1Δ/CgASG1 在 6 种不同的非发酵性碳源平板上的生长情况,结果如表 3 所示。突变菌株 *Cgasg1Δ* 在以乙酸钠、柠檬酸钠、甘油或乙醇为唯一碳源的 YNB 培养基上与野生型菌株 *wt* 表现出相同的生长情况,但在乙酸和乳酸为唯一碳源的平板上生长微弱。随后比较了以乙酸和乙酸钠为唯一碳源时细胞的生长情况,发现在乙酸为碳源时生长微弱的原因在于乙酸引起的 pH 下降。为此对比分析了野生型菌株 *wt* 和突变菌株 *Cgasg1Δ* 在 pH 2.0~8.0 时的细胞生长情况,结果列于表 3,发现突变菌株 *Cgasg1Δ* 在 pH 4.0~8.0 范围内表现出与野生型菌株相同的生长趋势,但在 pH 3.0 时生长受到抑制,而 pH 2.0 时则无法生长。而回补菌株 *Cgasg1Δ/CgASG1* 在任何培养基上均表现出与野生型菌株 *wt* 相同的生长表型(见表 3)。上述结果表明,转录因子 CgAsg1p 在 *C. glabrata* 抵御酸胁迫中发挥着重要作用。

比较了 pH 2.0 条件下野生型菌株 *wt*、突变菌株 *Cgasg1Δ* 的细胞活性变化,结果发现野生型菌株 *wt* 的细胞活性随着时间缓慢增长,12 h 时比 0 h 增加了 20 倍,而突变菌株 *Cgasg1Δ* 在 pH 2.0 时的细胞活性则随着培养时间迅速降低,12 h 时降低了 90%(见表 4)。以上结果进一步证实了缺失 *CgASG1* 基因降低了 *C. glabrata* 对酸性环境的耐受能力。

表 3 不同条件下光滑球拟酵母菌株的生长表型

Table 3 Phenotypes of *Candida glabrata* strains under various conditions

Strain	碳源							pH		
	葡萄糖	乙酸钠	乙酸	乳酸	柠檬酸钠	甘油	乙醇	4.0~8.0	3.0	2.0
<i>wt</i>	+	+	+	+	+	+	+	+	+	X
<i>Cgasg1Δ</i>	+	+	-	-	+	+	+	+	X	-
<i>Cgasg1Δ/CgASG1</i>	+	+	+	+	+	+	+	+	+	X

注: +代表正常生长; X 代表被抑制的生长; -代表不能生长(或生长严重受损)。

表 4 野生型菌株 *wt* 和突变菌株 *Cgasg1Δ* 在 YNB-pH 2.0 中的菌落数

Table 4 Number of colonies of *wt* and *Cgasg1Δ* strains in YNB-pH 2.0 medium

	0 h	2 h	4 h	6 h	8 h	10 h	12 h
<i>wt</i>	$(1.73 \pm 0.14) \times 10^7$	$(2.91 \pm 0.12) \times 10^7$	$(4.13 \pm 0.30) \times 10^7$	$(4.13 \pm 0.27) \times 10^7$	$(6.01 \pm 0.45) \times 10^7$	$(1.56 \pm 0.13) \times 10^8$	$(3.69 \pm 0.48) \times 10^8$
<i>Cgasg1Δ</i>	$(2.58 \pm 0.22) \times 10^7$	$(1.75 \pm 0.16) \times 10^7$	$(1.00 \pm 0.08) \times 10^7$	$(2.64 \pm 0.36) \times 10^6$	$(1.26 \pm 0.06) \times 10^6$	$(3.64 \pm 0.24) \times 10^5$	$(6.45 \pm 0.61) \times 10^4$

2.4 缺失 *CgASG1* 基因对光滑球拟酵母转录组水平的影响

将野生菌株 *wt* 和突变菌株 *Cgasg1Δ* 分别用 pH 5.2 和 pH 2.0 进行处理,然后进行转录组测序,结果如图 5 所示。与野生菌株 *wt* 相比,突变菌株 *Cgasg1Δ* 中转录水平发生显著差异的基因主要参与

压力调控、氧化还原过程、跨膜转运、ATP 酶活性、细胞分裂、DNA 复制、重组和修复等相关的生物过程。其中,1)作为氧化应激反应转录因子 Skn7p 的靶基因,TRR1 通过影响硫氧还蛋白还原酶的活性调节氧化还原平衡^[14-15];2)Dad2p 是复合物 Duo1p-Dam1p-Dad1p 的一个亚基,基因 *DAD2* 和 *DUO1* 转

录水平的变化直接影响复合物连接着丝粒以及定位到纺锤体,进而影响细胞分裂^[16-17];3)Pol2 是 DNA 损伤时用于末端修复的一种主要的 DNA 聚合酶^[18], Csm3 可与另两种蛋白质 Tof1 和 Mrc 形成复合物,当 DNA 合成受阻时抑制用于复制的 MCM 解旋酶活性^[19],基因 *POL2* 和 *CSM3* 转录水平的变化影响 DNA 复制及修复。上述结果表明,缺失 *CgASG1* 基因改变了上述相关基因的转录水平,降低了光滑球拟酵母对酸胁迫的抵御能力。

综上,*C. glabrata* 中的转录因子 *Asg1p* 不参与细胞对非发酵性碳源的利用过程,但是在生物鲁棒性的维持中发挥重要作用。缺失基因 *CgASG1*,光滑球拟酵母在酸性环境中的生长能力降低,原因有:

1)酸性条件下 ATPase 活性相关基因的转录水平变化,使得细胞泵出质子的能力降低,胞内质子积累, pH 降低引起胞内 ROS 含量升高^[20],进而导致胞内代谢紊乱^[21];2)氧化还原相关基因转录水平的变化影响胞内氧化还原电势,进而改变细胞生长^[22];3)缺少转录因子 *CgAsg1p*,酸性环境下影响 DNA 复制、重组和修复,使细胞无法维持基因组稳定而导致活性降低^[23]等。基于此研究中发现转录因子 *CgAsg1p* 参与的生物过程,为了深入解析该转录因子的作用机制,下一步将从 *CgAsg1p* 直接作用的靶基因着手,通过蛋白质免疫共沉淀后测序,分析 *CgAsg1p* 结合的每一个靶基因,描绘该转录因子参与的调控网络。

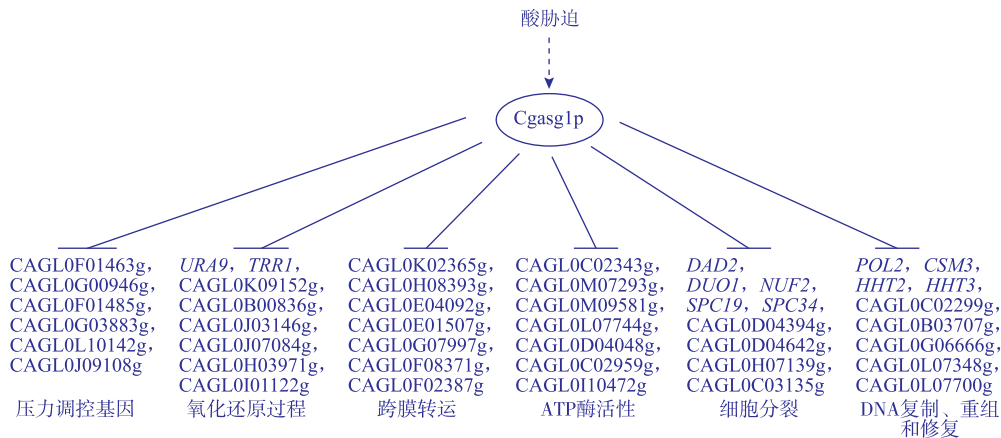


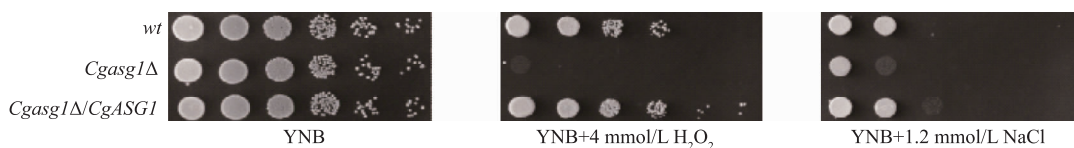
图 5 酸胁迫下转录水平发生显著变化的基因

Fig. 5 Significantly regulated genes in response to acid stress

2.5 缺失 *CgASG1* 基因对光滑球拟酵母氧化和高渗胁迫耐受性的影响

缺失 *CgASG1* 基因是否也会降低光滑球拟酵母抵御其他胁迫的能力呢? 研究菌株 *wt*、*Cgasg1Δ* 和 *Cgasg1Δ/CgASG1* 在无胁迫(YNB)、氧化胁迫(YNB+4 mmol/L H₂O₂)及高渗胁迫(YNB+1.2 mol/L NaCl)下的生长,如图 6 所示,发现:1)突变菌株 *Cgasg1Δ* 在无胁迫时与野生型菌株 *wt* 表现出相同的生长情况,但在氧化胁迫和高渗胁迫时的生长受到明显抑

制;2)野生型菌株 *wt* 在氧化胁迫和高渗胁迫时的生长分别降低 56%和 62%,突变菌株 *Cgasg1Δ* 分别降低 69%和 71%;3)与野生型菌株 *wt* 相比,突变菌株 *Cgasg1Δ* 在无胁迫时的生长降低 16%,在氧化胁迫时降低 40%,在高渗胁迫时降低 35%。上述结果表明,基因 *CgASG1* 缺失不仅降低了 *C. glabrata* 对酸性环境的耐受能力,还降低了对氧化胁迫和高渗胁迫的抵御能力。



(a)不同压力条件下光滑球拟酵母的平板生长



3 结 语

